



# AE-712 - AEROELASTICIDADE

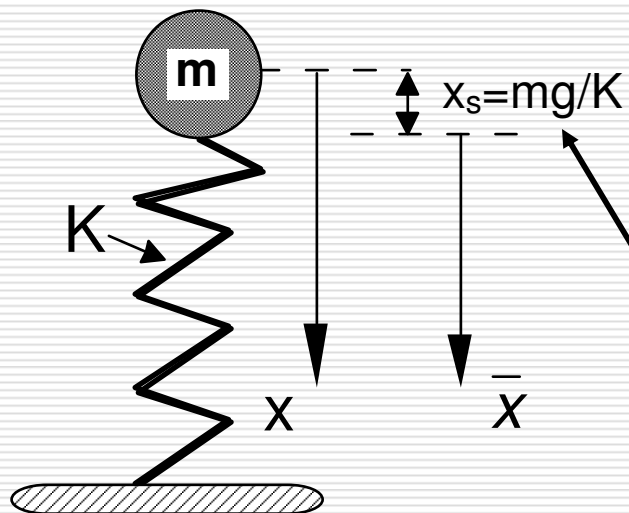
---

## **Aeroelasticidade Dinâmica** **Introdução**

**Instituto Tecnológico de Aeronáutica – ITA/IEA**

# Equações do movimento da seção típica com 1 GDL - Introdução

---



$$\bar{x} = x - \frac{mg}{K}$$

Em problemas de vibração sempre medimos os deslocamentos dinâmicos a partir do ponto de equilíbrio.

$$m\ddot{x} + Kx = mg$$

EDO de 2ª ordem a coeficientes constantes



$$\ddot{\bar{x}} + \frac{K}{m}\bar{x} = 0$$

---

# Solução da EDO:

---

$$\bar{x} = X e^{st} \qquad \ddot{\bar{x}} = s^2 X e^{st}$$

Substituindo a solução acima na equação de movimento podemos isolar a dependência temporal:

$$s^2 X e^{st} + \frac{K}{m} X e^{st} = 0 \Rightarrow X e^{st} \left( s^2 + \frac{K}{m} \right) = 0$$

$$s^2 = -\frac{K}{m} \Rightarrow s = \pm \sqrt{-\frac{K}{m}} \therefore s = \pm i \sqrt{\frac{K}{m}} = \pm i \omega$$

Autovalores solução da equação característica

---

## Solução final...

---

$$\bar{x}(t) = X_1 e^{i\omega t} + X_2 e^{-i\omega t}$$

$$e^{i\omega t} = \cos \omega t + i \sin \omega t$$

$$e^{-i\omega t} = \cos \omega t - i \sin \omega t$$

$$\bar{x}(t) = (X_1 + X_2) \cos \omega t + i(X_1 - X_2) \sin \omega t$$

$$\bar{x}(t) = C_1 \cos \omega t + C_2 \sin \omega t$$

$$\omega = \sqrt{\frac{K}{m}}$$

# Solução final

---

$$\bar{x}(0) = \bar{x}_0$$

$$\dot{\bar{x}}(0) = v_0$$

$$\bar{x}(0) = C_1 \cos 0 + C_2 \sin 0 \quad \Rightarrow C_1 = \bar{x}_0$$

$$\dot{\bar{x}}(0) = -\omega \cdot C_1 \sin 0 + \omega \cdot C_2 \cos 0 \quad \Rightarrow C_2 = \frac{v_0}{\omega}$$

$$\bar{x}(t) = \bar{x}_0 \cos \omega t + \frac{v_0}{\omega} \sin \omega t$$

---

# Frequência natural

---

É o resultado da solução da equação característica do sistema

$$Xe^{st} \left( s^2 + \frac{K}{m} \right) = 0$$

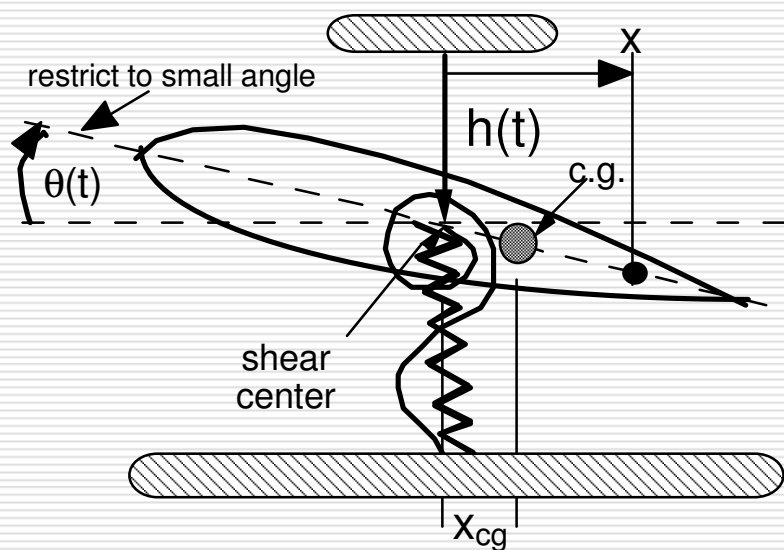
*equação característica*

$$\omega = \sqrt{\frac{K}{m}}$$

Depende das  
características de rigidez  
e inércia do sistema

---

# Exemplo: Seção típica com 1 GDL



$$I_{\theta} \ddot{\theta} + K_T \theta = q Se C_{L\alpha} \theta$$

$$I_{\theta} \ddot{\theta} + (K_T - q Se C_{L\alpha}) \theta = 0$$

$$\frac{K_T - q Se C_{L\alpha}}{K_T} = 1 - \frac{q Se C_{L\alpha}}{K_T} =$$

Equação torna-se homogênea

$$I_{\theta} \ddot{\theta} + \bar{K}_T \theta = 0 \quad = 1 - \bar{q} \quad , \quad \frac{q Se C_{L\alpha}}{K_T} = \bar{q}$$

# Solução elementar

---

$$\bar{K}_T = K_T (1 - \bar{q}) = \underbrace{(K_T - qSeC_{L\alpha})}_{\downarrow}$$

Note que esta é nossa  
velha conhecida, a  
**rigidez aeroelástica**

$$\theta(t) = \theta_0 e^{st}$$

$$s^2 I_\theta \theta_0 e^{st} + \bar{K}_T \theta_0 e^{st} = (s^2 I_\theta + \bar{K}_T) \theta_0 e^{st} = 0$$

$$\boxed{s^2 = -\frac{\bar{K}_T}{I_\theta} \Rightarrow s = \pm i \sqrt{\frac{\bar{K}_T}{I_\theta}}}$$

---



# Solução elementar

---

Análise das possibilidades de solução:  
Se tivermos a rigidez aeroelástica menor que zero, o sistema apresentará uma solução composta por dois expoentes reais um positivo e outro negativo.

Esta solução caracteriza um **crescimento exponencial** de uma das parcelas da Solução para  $\theta$  com o tempo indicando a instabilidade. Note que é análogo ao caso estático, rigidez aeroelástica menor que zero implica em uma instabilidade aeroelástica, no caso a **divergência**.

$$\bar{K}_T = K_T (1 - \bar{q})$$

$$\bar{K}_T < 0$$

$$\theta(t) = \theta_1 e^{pt} + \theta_2 e^{-pt}$$

$$p = \pm i \sqrt{\frac{-\bar{K}_T}{I_\theta}} =$$

$$p = \pm \sqrt{\frac{\bar{K}_T}{I_\theta}}$$

---

# Solução elementar

---

Por outro lado se a rigidez aeroelástica for maior que zero, o que indica que as forças aerodinâmicas são menores que as forças elásticas, a resposta do sistema será do tipo harmônica

$$s^2 = -\frac{\bar{K}_T}{I_\theta} \Rightarrow s = \pm i \sqrt{\frac{\bar{K}_T}{I_\theta}}$$

$$\theta(t) = \theta_1 e^{i\omega t} + \theta_2 e^{-i\omega t} \quad \theta(t) = C_1 \cos \omega t + C_2 \sin \omega t$$

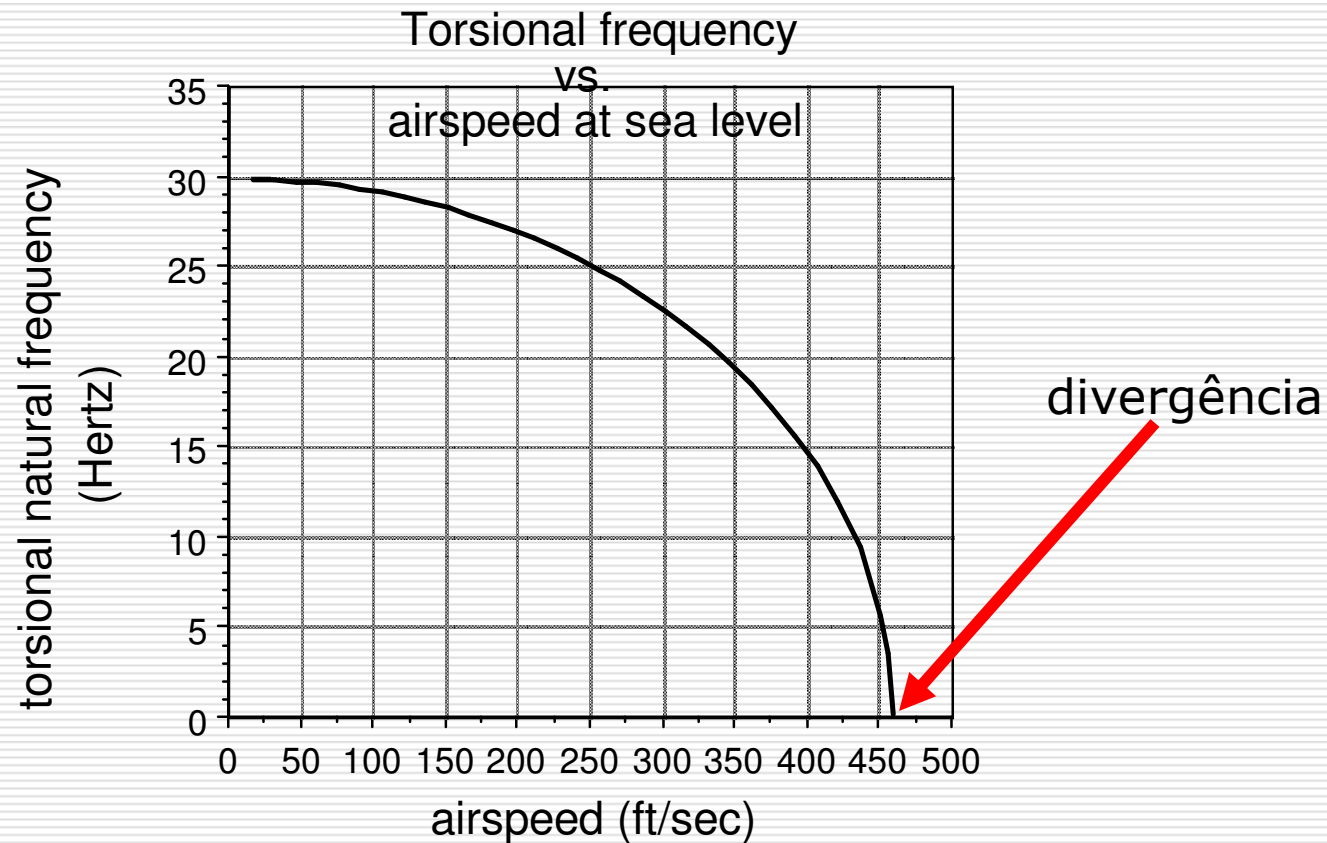
$$s = i\omega = \pm i \sqrt{\frac{\bar{K}_T}{I_\theta}}$$

Onde C1 e C2 são determinados a partir de condições iniciais e de contorno

---

# Frequência X velocidade – 1 GDL

---



# Conclusões

---

1. Sistema estável: apresenta um movimento oscilatório senoidal quando perturbado;
  2. Sistema instável: apresenta um movimento exponencialmente divergente quando sistema é perturbado.
  3. Sistema neutramente estável: apresenta um movimento constante com o tempo, podendo ser senoidal ou não.
-

# Rigidez aerodinâmica

---

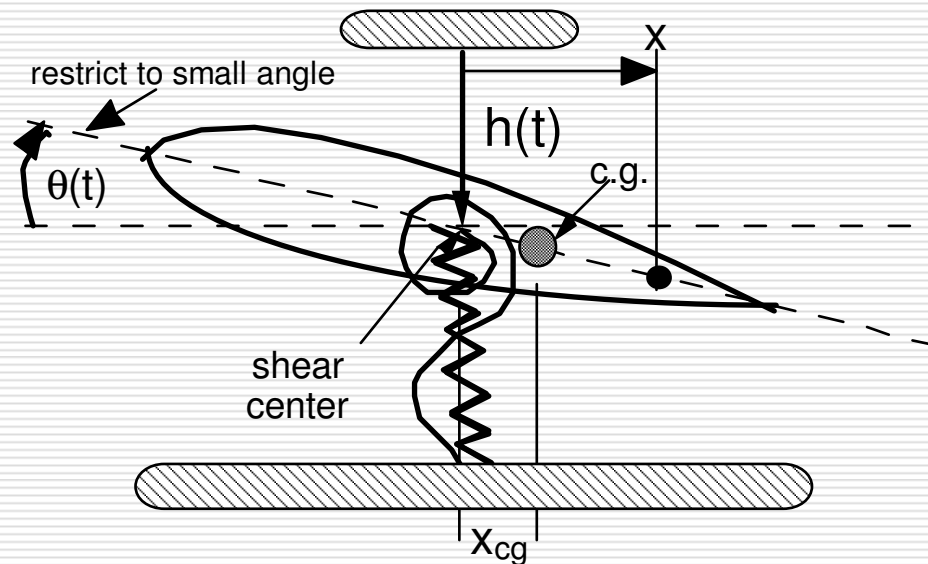
- A rigidez aerodinâmica é um conceito decorrente da variação de um esforço aerodinâmico dado um deslocamento;
- Está explícito em aeroelasticidade estática;
- E também quando o fenômeno aeroelástico é dinâmico:

$$I_{\theta} \ddot{\theta} + \left( K_T - q S e C_{L_{\alpha}} \right) \theta = 0$$

- Entretanto, da mesma forma que a rigidez associada a um deslocamento promove um esforço aerodinâmico, podemos ter um amortecimento que estaria associado às velocidades do corpo, e também forças de inércia que estariam associadas às acelerações. **Note que agora o nosso problema é dinâmico.**
-

# Modelo dinâmico do seção típica com 2 GDL

---



Derivação das equações de movimento empregando métodos de energia (Equações de Lagrange)

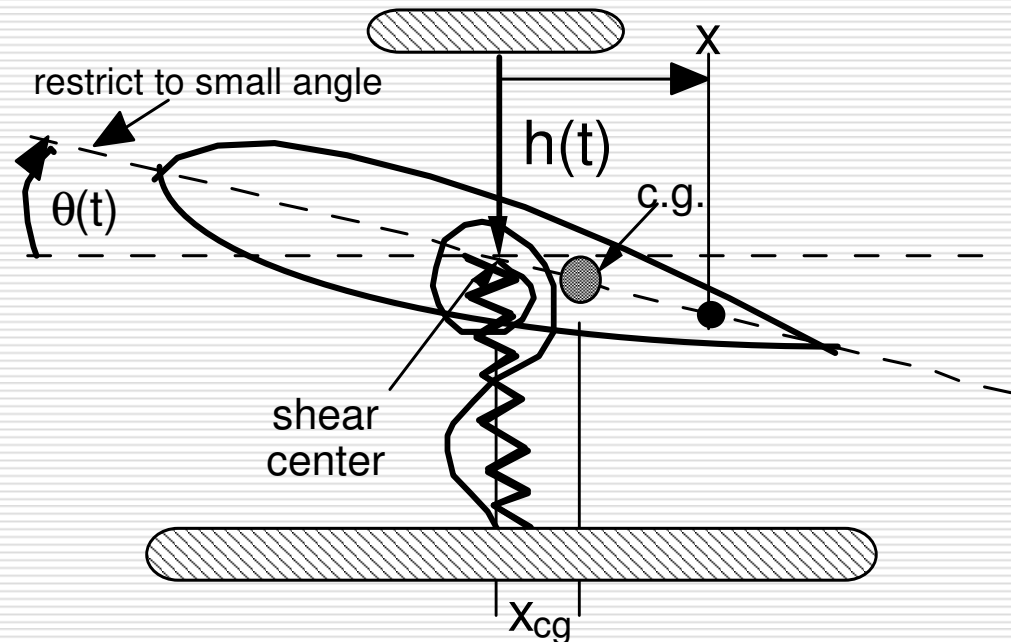
É um modelo clássico para dar início a compreensão dos fenômenos aeroelásticos. Assume-se que as molas são lineares e continuamos assumindo pequenas perturbações.

---

# Seção típica com 2 GDL

---

- a) Convenção de sinais por conveniência:  
O "plunge" é positivo para baixo.
- b) O sistema de referência possui origem no centro elástico ( $X_{ce} = 0$ )



$h(t)$  = grau de liberdade em "plunge" (flexão)

$\theta(t)$  = grau de liberdade em "pitch" (torção)

Medidos a partir da posição de equilíbrio estático

---

# Expressões de energia

---

$z(t)$  é o deslocamento para baixo em uma posição  $x$  localizada após ao centro elástico

$$\rightarrow z = h + x \sin \theta \cong h + x\theta$$

Energia cinética

$$T = \frac{1}{2} \int_{x=-x_l}^{x=x_l} (\rho)(\dot{h} + x\dot{\theta})^2 dx$$

Energia potencial

$$U = \frac{1}{2} K_h h^2 + \frac{1}{2} K_T \theta^2$$

## Equações de Lagrange

$$\boxed{\frac{d}{dt} \left( \frac{\partial(T-U)}{\partial \dot{\eta}_i} \right) - \frac{\partial(T-U)}{\partial \eta_i} = Q_i}$$

---



# Energia Cinética

---

$$T = \frac{1}{2} \int_{x=-x_l}^{x=x_l} (\rho)(\dot{h} + x\dot{\theta})^2 dx$$

$$T = \frac{1}{2} (m\dot{h}^2 + 2S_\theta \dot{h}\dot{\theta} + I_\theta \dot{\theta}^2)$$

$m$  é a massa total da seção típica

$$m = \int \rho(x) dx$$

$I_\theta$  momento de inércia da seção típica, composto por:

$$I_\theta = \int \rho(x) x^2 dx = I_o + mx_\theta^2$$

$X_\theta = X_{CG}$  posição do centro de massa com relação ao sistema de coordenadas da seção. No caso representa um desbalanceamento com relação ao eixo elástico

$S_\theta$  é o momento estático, ou desbalanceamento estático

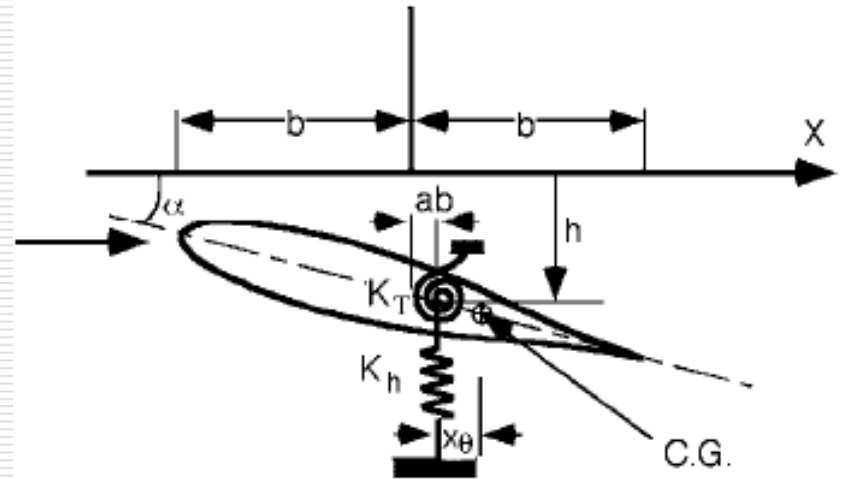
$$S_\theta = mx_\theta = \int \rho(x) x dx$$

# Equações do movimento

$$\frac{\partial T}{\partial \dot{h}} = m\dot{h} + mx_{\theta}\dot{\theta} \quad \frac{\partial U}{\partial h} = K_h h$$

$$\frac{\partial T}{\partial \dot{\theta}} = mx_{\theta}\dot{h} + I_{\theta}\dot{\theta} \quad \frac{\partial U}{\partial \theta} = K_T\theta$$

Equações de movimento na forma matricial. Note que o acoplamento ocorre devido a excentricidade  $\mathbf{x}_\theta$



$$\begin{bmatrix} m & mx_\theta \\ mx_\theta & I_\theta \end{bmatrix} \begin{Bmatrix} \ddot{h} \\ \ddot{\theta} \end{Bmatrix} + \begin{bmatrix} K_h & 0 \\ 0 & K_T \end{bmatrix} \begin{Bmatrix} h \\ \theta \end{Bmatrix} = \begin{Bmatrix} 0 \\ 0 \end{Bmatrix}$$

# Parâmetros dinâmicos

---

□ Definições:

$$r_{\theta}^2 = \frac{I_{\theta}}{m} \quad , \quad \omega_h^2 = \frac{K_h}{m} \quad ,$$

$$\omega_{\theta}^2 = \frac{K_T}{I_{\theta}} = \frac{K_T}{mr_{\theta}^2} \quad , \quad r_{\theta}^2 = \frac{I_{\theta}}{m}$$

$$r_{\theta}^2 = r_0^2 + x_{\theta}^2 \quad , \quad \Omega = \frac{\omega}{\omega_{\theta}} \quad ,$$

$$R = \frac{\omega_h}{\omega_{\theta}}$$

$r_0 \Rightarrow$  Raio de giração com relação ao cg

---

# Solução elementar

---

$$\begin{Bmatrix} h(t) \\ \theta(t) \end{Bmatrix} = \begin{Bmatrix} \bar{h} \\ \bar{\theta} \end{Bmatrix} e^{st} \quad \text{Substituímos no sistema acoplado:}$$

$$s^2 \begin{bmatrix} m & mx_\theta \\ mx_\theta & I_\theta \end{bmatrix} \begin{Bmatrix} \bar{h} \\ \bar{\theta} \end{Bmatrix} e^{st} + \begin{bmatrix} K_h & 0 \\ 0 & K_h \end{bmatrix} \begin{Bmatrix} \bar{h} \\ \bar{\theta} \end{Bmatrix} e^{st} = \begin{Bmatrix} 0 \\ 0 \end{Bmatrix}$$

$$\begin{bmatrix} (s^2 m + K_h) & (s^2 mx_\theta) \\ (s^2 mx_\theta) & (s^2 I_\theta + K_T) \end{bmatrix} \begin{Bmatrix} \bar{h} \\ \bar{\theta} \end{Bmatrix} e^{st} = \begin{Bmatrix} 0 \\ 0 \end{Bmatrix} \quad \text{Divide-se pelo termo exponencial}$$

$$\boxed{\begin{bmatrix} (s^2 m + K_h) & (s^2 mx_\theta) \\ (s^2 mx_\theta) & (s^2 I_\theta + K_T) \end{bmatrix} \begin{Bmatrix} \bar{h} \\ \bar{\theta} \end{Bmatrix} = \begin{Bmatrix} 0 \\ 0 \end{Bmatrix}}$$

# Determinante da matriz

---

$$\begin{vmatrix} (s^2 m + K_h) & (s^2 m x_\theta) \\ (s^2 m x_\theta) & (s^2 I_\theta + K_T) \end{vmatrix} = 0$$

$$(s^2 m + K_h)(s^2 I_\theta + K_T) - (s^2 m x_\theta)(s^2 m x_\theta) = 0$$

$$\left(s^2 + \frac{K_h}{m}\right)\left(s^2 + \frac{K_T}{I_\theta}\right) - \left(s^2\right)\left(s^2 \frac{m x_\theta^2}{I_\theta}\right) = 0$$

---

# Equação Característica

Parâmetros de frequência desacoplados :

PERGUNTA: O QUE  
ACONTECE QUANDO O CG  
COINCIDE COM O CE?

$$\omega_h^2 = \frac{K_h}{m} \quad \omega_\theta^2 = \frac{K_T}{I_\theta}$$

$$mx_\theta^2 = I_0$$

$$(s^2 + \omega_h^2)(s^2 + \omega_\theta^2) - \left(s^2 \frac{mx_\theta^2}{I_\theta}\right) = 0$$

$$\left( s^4 \left( 1 - \frac{mx_\theta^2}{I_\theta} \right) + s^2 (\omega_h^2 + \omega_\theta^2) + \omega_h^2 \omega_\theta^2 \right) = 0$$

# Frequências naturais

$$\left( s^4 \left( \frac{I_o}{I_\theta} \right) + s^2 (\omega_h^2 + \omega_\theta^2) + \omega_h^2 \omega_\theta^2 \right) = 0 \quad , \quad (as^4 + bs^2 + c) = 0 \Rightarrow$$

$$s^2 = \frac{-b \pm \sqrt{b^2 - 4ac}}{2a} \quad , \quad s^2 = \frac{-(\omega_h^2 + \omega_\theta^2) \pm \sqrt{(\omega_h^2 + \omega_\theta^2)^2 - 4 \left( \frac{I_o}{I_\theta} \right) \omega_h^2 \omega_\theta^2}}{2 \left( \frac{I_o}{I_\theta} \right)}$$

Finalmente, temos a expressão para s :

$$s^2 = -\frac{1}{2} \left( \frac{I_\theta}{I_o} \right) (\omega_h^2 + \omega_\theta^2) \pm \sqrt{\left[ \frac{1}{2} \frac{I_\theta}{I_o} (\omega_h^2 + \omega_\theta^2) \right]^2 - \left( \frac{I_\theta}{I_o} \right) \omega_h^2 \omega_\theta^2}$$

Cuidado, as frequências naturais são diferentes das frequências associadas a cada grau de liberdade do sistema desacoplado!

# Movimento Harmônico Simples

---

$$\begin{bmatrix} m & mx_\theta \\ mx_\theta & I_\theta \end{bmatrix} \begin{Bmatrix} \ddot{h} \\ \ddot{\theta} \end{Bmatrix} + \begin{bmatrix} K_h & 0 \\ 0 & K_T \end{bmatrix} \begin{Bmatrix} h \\ \theta \end{Bmatrix} = \begin{Bmatrix} 0 \\ 0 \end{Bmatrix}$$

Assume-se MHS  $\rightarrow \begin{Bmatrix} h(t) \\ \theta(t) \end{Bmatrix} = \begin{Bmatrix} \bar{h} \\ \bar{\theta} \end{Bmatrix} e^{i\omega t}$   
O que resulta em:

$$-\omega^2 \begin{bmatrix} m & mx_\theta \\ mx_\theta & I_\theta \end{bmatrix} \begin{Bmatrix} \bar{h} \\ \bar{\theta} \end{Bmatrix} + \begin{bmatrix} K_h & 0 \\ 0 & K_T \end{bmatrix} \begin{Bmatrix} \bar{h} \\ \bar{\theta} \end{Bmatrix} = \begin{Bmatrix} 0 \\ 0 \end{Bmatrix}$$

---



# Equações do Movimento

## Sistema Livre - Resumo

---

$$\begin{bmatrix} m & mx_{\theta} \\ mx_{\theta} & I_{\theta} \end{bmatrix} \begin{Bmatrix} \ddot{h} \\ \ddot{\theta} \end{Bmatrix} + \begin{bmatrix} K_h & 0 \\ 0 & K_T \end{bmatrix} \begin{Bmatrix} h \\ \theta \end{Bmatrix} = \begin{Bmatrix} 0 \\ 0 \end{Bmatrix}$$

- Note que o sistema a dois graus de liberdade é um sistema acoplado dinamicamente, ou seja nas diagonais da matriz de massa temos os momentos estáticos;
- No domínio da frequência, assumindo MHS:

$$-\omega^2 \begin{bmatrix} m & mx_{\theta} \\ mx_{\theta} & I_{\theta} \end{bmatrix} \begin{Bmatrix} \bar{h} \\ \bar{\theta} \end{Bmatrix} + \begin{bmatrix} K_h & 0 \\ 0 & K_T \end{bmatrix} \begin{Bmatrix} \bar{h} \\ \bar{\theta} \end{Bmatrix} = \begin{Bmatrix} 0 \\ 0 \end{Bmatrix}$$

---

# Aerodinâmica Quase-Estacionária

---

- A proposta é estudar o problema da seção típica com dois graus de liberdade, considerando a teoria aerodinâmica quase-estacionária;
- Esta teoria pressupõem que as cargas aerodinâmicas são proporcionais aos deslocamentos, velocidades e acelerações associadas a condições de contorno estabelecidas sobre o corpo sujeito a um escoamento.

**AN ELEMENTARY EXPLANATION OF THE FLUTTER MECHANISM**

**Samuel Pines  
Chief Flutter & Computing Engineer  
Republic Aviation Corporation**

---

# Flutter Quase-Estacionário

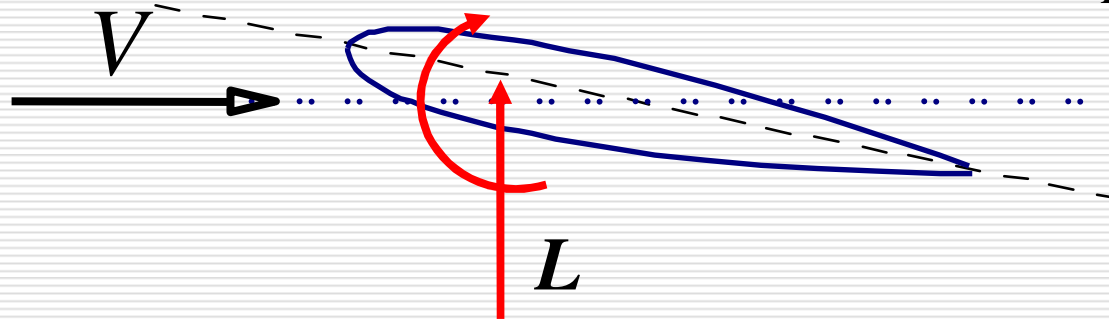
---

- ❑ Flutter é uma instabilidade dinâmica de natureza oscilatória e auto excitada que ocorre devido a interação entre dois modos de movimento distintos e um fornecimento de energia externo (carregamento aerodinâmico).
  - ❑ Aerodinâmica quase-estacionária desconsidera efeitos associados ao atraso entre as forças aerodinâmicas geradas (auto-excitação) e o movimento da estrutura;
  - ❑ Ou seja, o carregamento é função exclusivamente de deslocamentos, velocidades e acelerações do corpo (seção típica).
  - ❑ Uma primeira aproximação assume que a sustentação e o momento é função de um ângulo de ataque associado a variação em  $\theta$  mais a velocidade de translação ( $dh/dt$ ) dividida pela velocidade do escoamento não perturbado  $V$ .
-

# Sustentação e Momento

(ref. Centro aerodinâmico)

$$L = qSC_{L\alpha} \left( \theta + \frac{\dot{h}}{V} \right)$$



(ref. eixo elástico)

$$M_Y = L \cdot e = qS \cdot e \cdot C_{L\alpha} \left( \theta + \frac{\dot{h}}{V} \right)$$

# Sistema homogêneo

---

$$\begin{bmatrix} m & mx_{\theta} \\ mx_{\theta} & I_{\theta} \end{bmatrix} \begin{Bmatrix} \ddot{h} \\ \ddot{\theta} \end{Bmatrix} + \begin{bmatrix} K_h & 0 \\ 0 & K_T \end{bmatrix} \begin{Bmatrix} h \\ \theta \end{Bmatrix} = \begin{Bmatrix} 0 \\ 0 \end{Bmatrix}$$

A inclusão do carregamento aerodinâmico é feita adicionando ao lado direito a sustentação  $L$  e o momento  $L.e$

---

# Inclusão do carregamento aerodinâmico

---

$$\begin{bmatrix} m & mx_{\theta} \\ mx_{\theta} & I_{\theta} \end{bmatrix} \begin{Bmatrix} \ddot{h} \\ \ddot{\theta} \end{Bmatrix} + \begin{bmatrix} K_h & 0 \\ 0 & K_T \end{bmatrix} \begin{Bmatrix} h \\ \theta \end{Bmatrix} = \begin{Bmatrix} -L \\ Le \end{Bmatrix}$$

O sinal de  $L$  é trocado pois uma sustentação positiva age para cima enquanto que  $h$  é positivo para baixo

Dividimos por  $m$ , massa do aerofólio: ,  $r_{\theta}$  = raio de giração =  $r_{\theta}^2 = \frac{I_{\theta}}{m}$

$$\begin{bmatrix} 1 & x_{\theta} \\ x_{\theta} & r_{\theta}^2 \end{bmatrix} \begin{Bmatrix} \ddot{h} \\ \ddot{\theta} \end{Bmatrix} + \begin{bmatrix} \frac{K_h}{m} & 0 \\ 0 & \frac{K_T}{m} \end{bmatrix} \begin{Bmatrix} h \\ \theta \end{Bmatrix} = \begin{Bmatrix} -L/m \\ Le/m \end{Bmatrix}$$

---

# Substituindo o carregamento

---

□ Temos:

$$\begin{bmatrix} 1 & x_\theta \\ x_\theta & r_\theta^2 \end{bmatrix} \begin{Bmatrix} \ddot{h} \\ \ddot{\theta} \end{Bmatrix} + \frac{qSC_{L\alpha}}{m} \begin{bmatrix} \frac{1}{V} & 0 \\ \frac{-e}{V} & 0 \end{bmatrix} \begin{Bmatrix} \dot{h} \\ \dot{\theta} \end{Bmatrix} + \begin{bmatrix} \frac{K_h}{m} & 0 \\ 0 & \frac{K_T}{m} \end{bmatrix} \begin{Bmatrix} h \\ \theta \end{Bmatrix} + \frac{qSC_{L\alpha}}{m} \begin{bmatrix} 0 & 1 \\ 0 & -e \end{bmatrix} \begin{Bmatrix} h \\ \theta \end{Bmatrix} = \begin{Bmatrix} 0 \\ 0 \end{Bmatrix}$$

□ Equação de vibração livre o aerofólio sujeito a um escoamento.

---

# Problema estático:

---

- Derivadas temporais nulas:

$$\begin{bmatrix} \frac{K_h}{m} & 0 \\ 0 & \frac{K_T}{m} \end{bmatrix} \begin{Bmatrix} h \\ \theta \end{Bmatrix} + \frac{qSC_{L\alpha}}{m} \begin{bmatrix} 0 & 1 \\ 0 & -e \end{bmatrix} \begin{Bmatrix} h \\ \theta \end{Bmatrix} = \begin{Bmatrix} 0 \\ 0 \end{Bmatrix}$$

- Recuperamos o problema estático de onde podemos calcular a velocidade de divergência -> verificar!
-



# Adimensionalizando...

---

$$\frac{1}{\omega_{\theta}^2} \begin{bmatrix} 1 & x_{\theta} \\ x_{\theta} & r_{\theta}^2 \end{bmatrix} \begin{Bmatrix} \ddot{h} \\ \ddot{\theta} \end{Bmatrix} + \begin{bmatrix} \frac{K_h}{m\omega_{\theta}^2} & 0 \\ 0 & \frac{K_T}{m\omega_{\theta}^2} \end{bmatrix} \begin{Bmatrix} h \\ \theta \end{Bmatrix} = \begin{Bmatrix} -L/m\omega_{\theta}^2 \\ Le/m\omega_{\theta}^2 \end{Bmatrix}$$

$$\frac{1}{\omega_{\theta}^2} \begin{bmatrix} 1 & x_{\theta} \\ x_{\theta} & r_{\theta}^2 \end{bmatrix} \begin{Bmatrix} \ddot{h} \\ \ddot{\theta} \end{Bmatrix} + \begin{bmatrix} \frac{\omega_h^2}{\omega_{\theta}^2} & 0 \\ 0 & r_{\theta}^2 \end{bmatrix} \begin{Bmatrix} h \\ \theta \end{Bmatrix} = \begin{Bmatrix} -L/m\omega_{\theta}^2 \\ Le/m\omega_{\theta}^2 \end{Bmatrix}$$

---

# Carregamento Aerodinâmico é função dos deslocamentos

$$\begin{Bmatrix} -L/m\omega_\theta^2 \\ Le/m\omega_\theta^2 \end{Bmatrix} = \frac{qSC_{L\alpha}}{m\omega_\theta^2} \begin{bmatrix} -1/V & 0 \\ e/V & 0 \end{bmatrix} \begin{Bmatrix} \dot{h} \\ \dot{\theta} \end{Bmatrix} + \frac{qSC_{L\alpha}}{m\omega_\theta^2} \begin{bmatrix} 0 & -1 \\ 0 & e \end{bmatrix} \begin{Bmatrix} h \\ \theta \end{Bmatrix}$$

$$\frac{1}{\omega_\theta^2} \begin{bmatrix} 1 & x_\theta \\ x_\theta & r_\theta^2 \end{bmatrix} \begin{Bmatrix} \ddot{h} \\ \ddot{\theta} \end{Bmatrix} + \begin{bmatrix} \frac{\omega_h^2}{\omega_\theta^2} & 0 \\ 0 & r_\theta^2 \end{bmatrix} \begin{Bmatrix} h \\ \theta \end{Bmatrix} =$$

Fazemos a substituição das relações para a sustentação e o momento, como função dos deslocamentos apenas.

$$= \frac{qSC_{L\alpha}}{m\omega_\theta^2} \begin{bmatrix} -1/V & 0 \\ e/V & 0 \end{bmatrix} \underbrace{\begin{Bmatrix} \dot{h} \\ \dot{\theta} \end{Bmatrix}}_0 + \frac{qSC_{L\alpha}}{m\omega_\theta^2} \begin{bmatrix} 0 & -1 \\ 0 & e \end{bmatrix} \begin{Bmatrix} h \\ \theta \end{Bmatrix}$$

**Teoria de Pines**

# Teoria de Pines (1958)

---

- ❑ É uma maneira de chegarmos a solução do problema de estabilidade aeroelástica, através da solução de um sistema de equação homogêneo onde a contribuição aerodinâmica se dá através da rigidez somente.
  - ❑ Ou seja, desconsidera-se os efeitos aerodinâmicos associados às velocidades de translação e rotação do aerofólio, uma vez que a sua inclusão implica em um amortecimento aerodinâmico o qual impediria tratar o sistema como um problema de vibração livre não amortecida.
  - ❑ É uma forma conveniente e bastante simplificada para identificar uma condição de flutter.
-

# Vibração livre com escoamento

---

$$\frac{1}{\omega_{\theta}^2} \begin{bmatrix} 1 & x_{\theta} \\ x_{\theta} & r_{\theta}^2 \end{bmatrix} \begin{Bmatrix} \ddot{h} \\ \ddot{\theta} \end{Bmatrix} + \begin{bmatrix} \frac{\omega_h^2}{\omega_{\theta}^2} & 0 \\ 0 & r_{\theta}^2 \end{bmatrix} \begin{Bmatrix} h \\ \theta \end{Bmatrix} = \frac{qSC_{L_{\alpha}}}{m\omega_{\theta}^2} \begin{bmatrix} 0 & -1 \\ 0 & e \end{bmatrix} \begin{Bmatrix} h \\ \theta \end{Bmatrix}$$

$$\frac{1}{\omega_{\theta}^2} \begin{bmatrix} 1 & x_{\theta} \\ x_{\theta} & r_{\theta}^2 \end{bmatrix} \begin{Bmatrix} \ddot{h} \\ \ddot{\theta} \end{Bmatrix} + \begin{bmatrix} \frac{\omega_h^2}{\omega_{\theta}^2} & 0 \\ 0 & r_{\theta}^2 \end{bmatrix} \begin{Bmatrix} h \\ \theta \end{Bmatrix} + \frac{qSC_{L_{\alpha}}}{m\omega_{\theta}^2} \begin{bmatrix} 0 & 1 \\ 0 & -e \end{bmatrix} \begin{Bmatrix} h \\ \theta \end{Bmatrix} = \begin{Bmatrix} 0 \\ 0 \end{Bmatrix}$$

---

# Solução assumindo MHS

---

$$\begin{Bmatrix} h(t) \\ \theta(t) \end{Bmatrix} = \begin{Bmatrix} \bar{h} \\ \bar{\theta} \end{Bmatrix} e^{st} = \begin{Bmatrix} \bar{h} \\ \bar{\theta} \end{Bmatrix} e^{i\omega t}$$

Dividindo por  $e^{i\omega t}$

$$\frac{-\omega^2}{\omega_\theta^2} \begin{bmatrix} 1 & x_\theta \\ x_\theta & r_\theta^2 \end{bmatrix} \begin{Bmatrix} \bar{h} \\ \bar{\theta} \end{Bmatrix} + \begin{bmatrix} \frac{\omega_h^2}{\omega_\theta^2} & 0 \\ 0 & r_\theta^2 \end{bmatrix} \begin{Bmatrix} \bar{h} \\ \bar{\theta} \end{Bmatrix} + \frac{qSC_{L\alpha}}{m\omega_\theta^2} \begin{bmatrix} 0 & 1 \\ 0 & -e \end{bmatrix} \begin{Bmatrix} \bar{h} \\ \bar{\theta} \end{Bmatrix} = \begin{Bmatrix} 0 \\ 0 \end{Bmatrix}$$

---

# Associando a parâmetros de similaridade....

$$-\frac{\omega^2}{\omega_\theta^2} \begin{bmatrix} 1 & x_\theta \\ x_\theta & r_\theta^2 \end{bmatrix} \begin{Bmatrix} \bar{h} \\ \bar{\theta} \end{Bmatrix} + \begin{bmatrix} \frac{\omega_h^2}{\omega_\theta^2} & 0 \\ 0 & r_\theta^2 \end{bmatrix} \begin{Bmatrix} \bar{h} \\ \bar{\theta} \end{Bmatrix} + \frac{q SC_{L\alpha}}{m \omega_\theta^2} \begin{bmatrix} 0 & 1 \\ 0 & -e \end{bmatrix} \begin{Bmatrix} \bar{h} \\ \bar{\theta} \end{Bmatrix} = \begin{Bmatrix} 0 \\ 0 \end{Bmatrix}$$

$$\Omega = \frac{\omega}{\omega_\theta}$$

$$q = \frac{1}{2} \rho V^2$$

$$-\Omega^2 \begin{bmatrix} 1 & x_\theta \\ x_\theta & r_\theta^2 \end{bmatrix} \begin{Bmatrix} \bar{h} \\ \bar{\theta} \end{Bmatrix} + \begin{bmatrix} \frac{\omega_h^2}{\omega_\theta^2} & 0 \\ 0 & r_\theta^2 \end{bmatrix} \begin{Bmatrix} \bar{h} \\ \bar{\theta} \end{Bmatrix} + \frac{\rho V^2 SC_{L\alpha}}{2m \omega_\theta^2} \begin{bmatrix} 0 & 1 \\ 0 & -e \end{bmatrix} \begin{Bmatrix} \bar{h} \\ \bar{\theta} \end{Bmatrix} = \begin{Bmatrix} 0 \\ 0 \end{Bmatrix}$$

# Definindo novos parâmetros

$$-\Omega^2 \begin{bmatrix} 1 & x_\theta \\ x_\theta & r_\theta^2 \end{bmatrix} \begin{Bmatrix} \bar{h} \\ \bar{\theta} \end{Bmatrix} + \begin{bmatrix} \frac{\omega_h^2}{\omega_\theta^2} & 0 \\ 0 & r_\theta^2 \end{bmatrix} \begin{Bmatrix} \bar{h} \\ \bar{\theta} \end{Bmatrix} + \frac{\rho V^2 S C_{L\alpha}}{2m\omega_\theta^2} \begin{bmatrix} 0 & 1 \\ 0 & -e \end{bmatrix} \begin{Bmatrix} \bar{h} \\ \bar{\theta} \end{Bmatrix} = \begin{Bmatrix} 0 \\ 0 \end{Bmatrix}$$

$$q = \frac{1}{2} \rho V^2, \quad \mu = \frac{m}{\pi \rho b^2 l} = \frac{\text{massa da seção}}{\text{massa do volume de ar}} \Rightarrow \text{Diagrama de uma seção aerodinâmica em um círculo amarelo com uma linha azul horizontal no meio.}$$

$\mu$  = "massa aparente"

$b\omega$  = [velocidade]

$$\frac{q S C_{L\alpha}}{m\omega_\theta^2} = \frac{\rho V^2 c l C_{L\alpha}}{2m\omega_\theta^2} = b \left( \frac{V}{b\omega_\theta} \right)^2 \left( \frac{C_{L\alpha}}{\pi \mu} \right) \quad \text{Velocidade reduzida} = \frac{V}{b\omega_\theta}$$

# Parâmetros adimensionais

---

Estes parâmetros são úteis para caracterizarmos o fenômeno

$$\bar{V} = \frac{V}{b \omega_{\theta}}$$

Velocidade  
Reduzida

$$\Omega = \frac{\omega}{\omega_{\theta}}$$

$$R^2 = \frac{\omega_h^2}{\omega_{\theta}^2}$$

$$\bar{e} = \frac{e}{b}$$

$$\bar{r}_{\theta} = \frac{r_{\theta}}{b}$$

---



# Adimensionalizando por b

---

$$\frac{1/b}{1/b^2} \frac{-\omega^2}{\omega_\theta^2} \begin{bmatrix} 1 & x_\theta \\ x_\theta & r_\theta^2 \end{bmatrix} \begin{Bmatrix} \bar{h} \\ \bar{\theta} \end{Bmatrix} + \begin{bmatrix} \frac{\omega_h^2}{\omega_\theta^2} & 0 \\ 0 & r_\theta^2 \end{bmatrix} \begin{Bmatrix} \bar{h} \\ \bar{\theta} \end{Bmatrix} + \frac{qSC_{L_\alpha}}{m\omega_\theta^2} \begin{bmatrix} 0 & 1 \\ 0 & -e \end{bmatrix} \begin{Bmatrix} \bar{h} \\ \bar{\theta} \end{Bmatrix} = \begin{Bmatrix} 0 \\ 0 \end{Bmatrix}$$

$$R^2 = \frac{\omega_h^2}{\omega_\theta^2}$$

$$\boxed{-\Omega^2 \begin{bmatrix} 1 & \bar{x}_\theta \\ \bar{x}_\theta & \bar{r}_\theta^2 \end{bmatrix} \begin{Bmatrix} \bar{h}/b \\ \bar{\theta} \end{Bmatrix} + \begin{bmatrix} R^2 & 0 \\ 0 & \bar{r}_\theta^2 \end{bmatrix} \begin{Bmatrix} \bar{h}/b \\ \bar{\theta} \end{Bmatrix} + \frac{qSC_{L_\alpha}}{mb\omega_\theta^2} \begin{bmatrix} 0 & 1 \\ 0 & -\bar{e} \end{bmatrix} \begin{Bmatrix} \bar{h}/b \\ \bar{\theta} \end{Bmatrix} = \begin{Bmatrix} 0 \\ 0 \end{Bmatrix}}$$


---

# Para surgir a massa aparente:

$$-\Omega^2 \begin{bmatrix} 1 & \bar{x}_\theta \\ \bar{x}_\theta & \bar{r}_\theta^2 \end{bmatrix} \begin{Bmatrix} \bar{h}/b \\ \bar{\theta} \end{Bmatrix} + \begin{bmatrix} R^2 & 0 \\ 0 & \bar{r}_\theta^2 \end{bmatrix} \begin{Bmatrix} \bar{h}/b \\ \bar{\theta} \end{Bmatrix} + \frac{qSC_{L_\alpha}}{mb\omega_\theta^2} \begin{bmatrix} 0 & 1 \\ 0 & -\bar{e} \end{bmatrix} \begin{Bmatrix} \bar{h}/b \\ \bar{\theta} \end{Bmatrix} = \begin{Bmatrix} 0 \\ 0 \end{Bmatrix}$$

$$\frac{qSC_{L_\alpha}}{m\omega_\theta^2} = b \left( \frac{V}{b\omega_\theta} \right)^2 \left( \frac{C_{L_\alpha}}{\pi\mu} \right)$$

$$\begin{aligned} & -\Omega^2 \begin{bmatrix} 1 & \bar{x}_\theta \\ \bar{x}_\theta & \bar{r}_\theta^2 \end{bmatrix} \begin{Bmatrix} \bar{h}/b \\ \bar{\theta} \end{Bmatrix} + \begin{bmatrix} R^2 & 0 \\ 0 & \bar{r}_\theta^2 \end{bmatrix} \begin{Bmatrix} \bar{h}/b \\ \bar{\theta} \end{Bmatrix} + \\ & + \left( \frac{C_{L_\alpha}}{\pi\mu} \right) \left( \frac{V}{b\omega_\theta} \right)^2 \begin{bmatrix} 0 & 1 \\ 0 & -\bar{e} \end{bmatrix} \begin{Bmatrix} \bar{h}/b \\ \bar{\theta} \end{Bmatrix} = \begin{Bmatrix} 0 \\ 0 \end{Bmatrix} \end{aligned}$$

# Sistema aeroelástico

---

- No domínio da frequência:

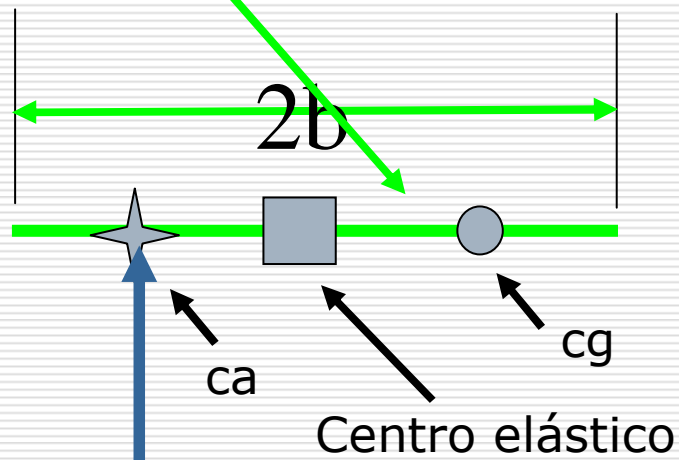
$$-1 \cdot \begin{bmatrix} \Omega^2 - R^2 & \Omega^2 \bar{x}_\theta - \bar{V}^2 \frac{C_{L\alpha}}{\pi\mu} \\ \Omega^2 \bar{x}_\theta & \Omega^2 \bar{r}_\theta^2 - \bar{r}_\theta^2 + \bar{V}^2 \frac{C_{L\alpha} e}{\pi\mu} \end{bmatrix} \begin{Bmatrix} \bar{h}/b \\ \bar{\theta} \end{Bmatrix} = \begin{Bmatrix} 0 \\ 0 \end{Bmatrix}$$

- E para estudar a estabilidade deste sistema, posso usar um critério de estabilidade.
-

# Cálculo do Determinante

Para calcularmos a estabilidade, ou seja o flutter, busca-se a Equação característica para obter as suas raízes.

$$(\bar{r}_\theta^2 - \bar{x}_\theta^2)\Omega^4 - \left( \bar{r}_\theta^2 [1 + R^2] - \frac{(\bar{e} + \bar{x}_\theta) C_{L\alpha} \bar{V}^2}{\pi \mu} \right) \Omega^2 + \left( \bar{r}_\theta^2 R^2 - R^2 \frac{\bar{V}^2 \bar{e} C_{L\alpha}}{\pi \mu} \right) = 0$$



$$\bar{d} = \bar{e} + \bar{x}_\theta$$

Distância adimensional entre o ca e o cg.

# Equação quártica:

---

$$A\Omega^4 - B\Omega^2 + C = 0$$

Onde os coeficientes  
A, B e C são dados por:

$$A = \left( \bar{r}_\theta^2 - \bar{x}_\theta^2 \right) = \bar{r}_0^2 > 0$$

-> Raio de giração ref. cg

$$B = \left( \bar{r}_\theta^2 [1 + R^2] - \frac{(\bar{e} + \bar{x}_\theta) C_{L\alpha} \bar{V}^2}{\pi \mu} \right)$$

$$C = \left( \bar{r}_\theta^2 R^2 - R^2 \frac{\bar{V}^2 \bar{e} C_{L\alpha}}{\pi \mu} \right)$$

---

# Exame dos termos:

---

$$B = \left( \bar{r}_\theta^2 [1 + R^2] \right) - \left( \bar{d}^{C_{L_\alpha}} / \pi \mu \right) \bar{V}^2$$

Possui a forma:

$$B = b_1 - b_2 \bar{V}^2 \quad b_1 = \bar{r}_\theta^2 (1 + R) > 0$$

Como a solução para a eq. característica possui a forma:

$$\Omega^2 = \frac{B \pm \sqrt{B^2 - 4AC}}{2A} \quad \Omega = \frac{\omega}{\omega_\theta}$$

---

# Exame dos termos

---

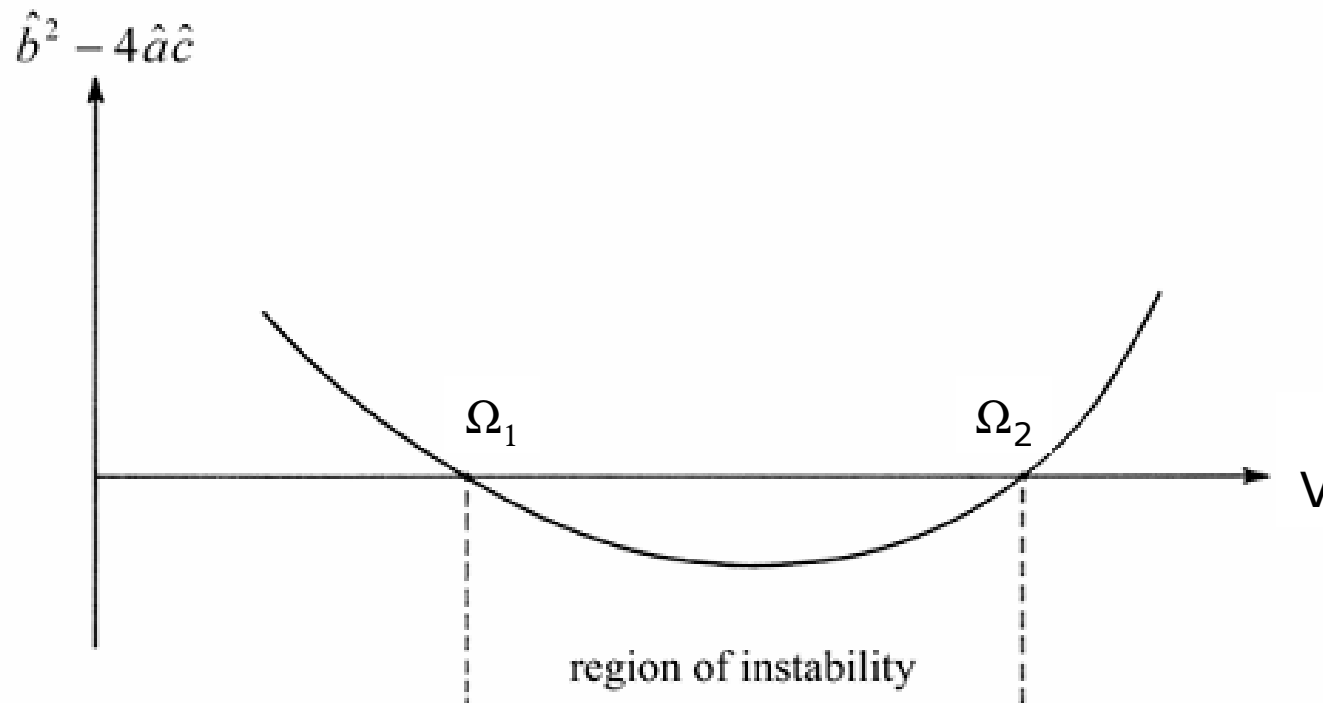
- ❑ Como  $b_1$  é maior que zero, e se  $V$  barra for igual a zero recuperamos as frequências naturais da seção típica.
- ❑ Uma mudança na velocidade reduzida ( $V$  barra) promove uma mudança dentro do radical.

$$\Omega^2 = \frac{B \pm \sqrt{B^2 - 4AC}}{2A}$$

- ❑ É positivo quando a velocidade reduzida é nula e decresce com o acréscimo nesta velocidade. Este efeito representa o acréscimo do acoplamento aerodinâmico causado pelo aumento da velocidade.
-

# $B^2 - 4AC$ em função de $V$

- Flutter em  $\Omega_1$





# Ocorrência de flutter

---

- Com o acréscimo na velocidade reduzida, o termo dentro do radical decresce, torna-se **negativo** implicando em raízes complexas conjugadas;

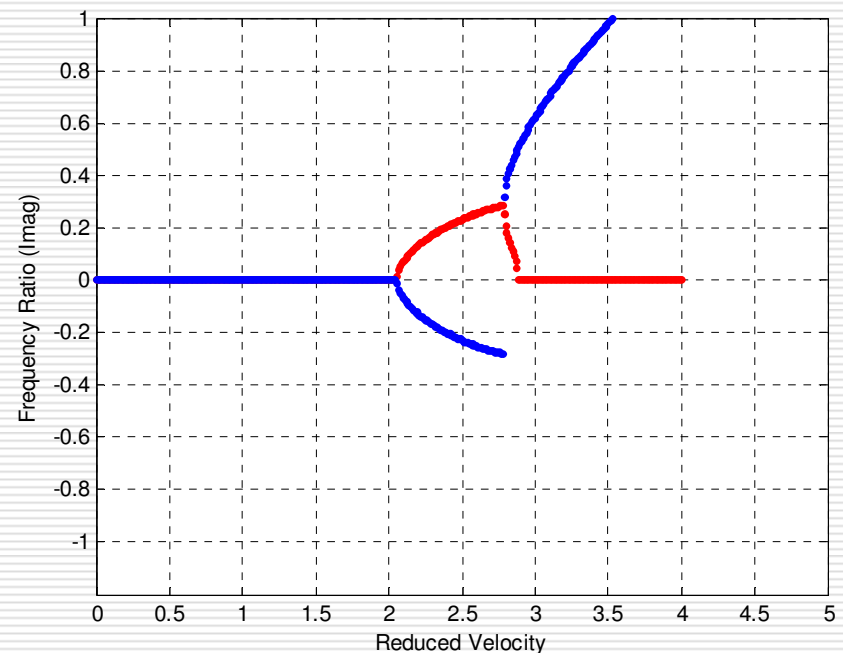
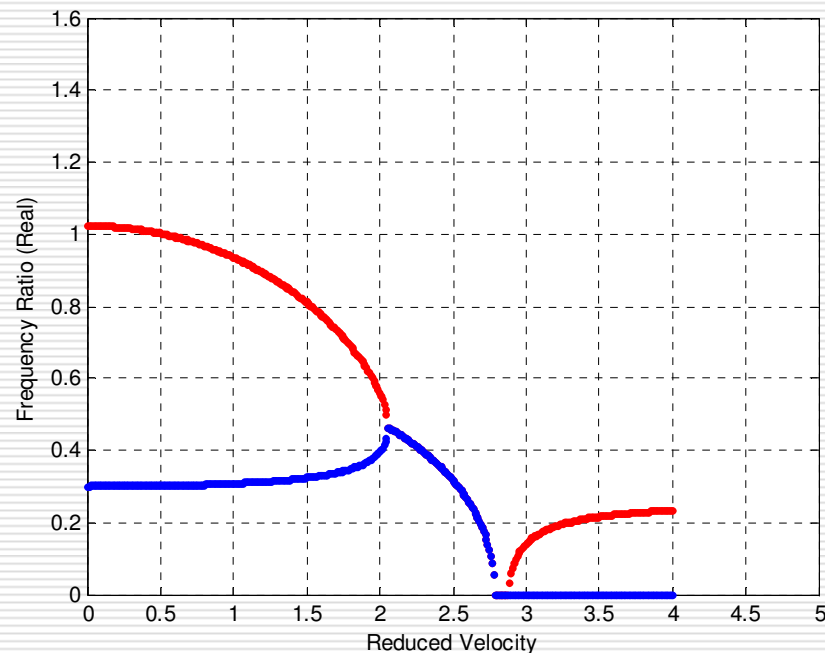
$$\omega = \omega_0 \pm i\sigma, \quad \sigma > 0$$

$$f(t) = a \cdot \begin{cases} e^{(i\omega_0 + \sigma)t} \\ e^{(i\omega_0 - \sigma)t} \end{cases}$$

- Raízes complexas, indicam que o exponencial onde  $\sigma$  é positivo indica um movimento divergente!
  - Na situação quando  $B^2 = 4AC$ , temos a **velocidade reduzida** correspondente a **condição de flutter**.
-

# Condições nominais

- Exemplo de um aerofólio com as seguintes características:
- $X_\theta = 0.10$  ,  $e = 0.30$ ,  $R = 0.30$  ,  $\omega_\theta = 25$  rad/s,  $\mu = 20.0$

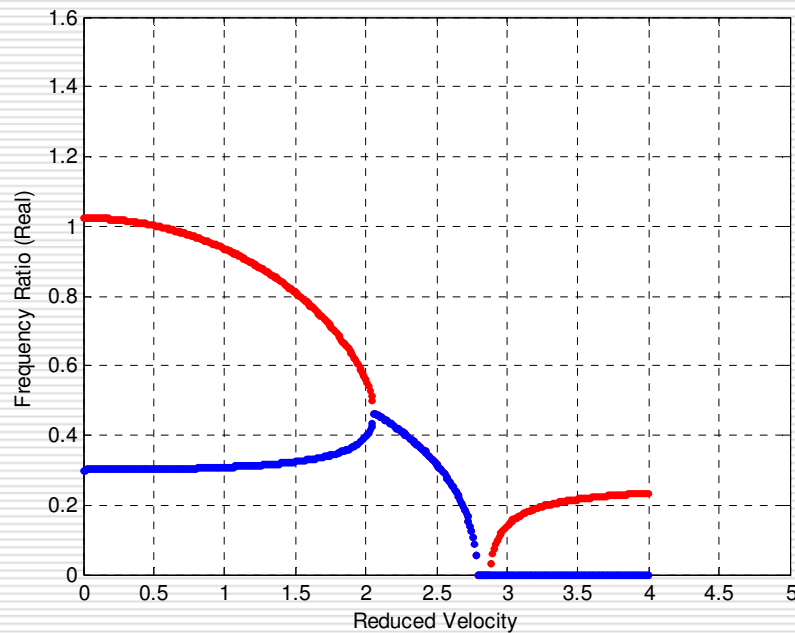


# Efeito da massa aparente I

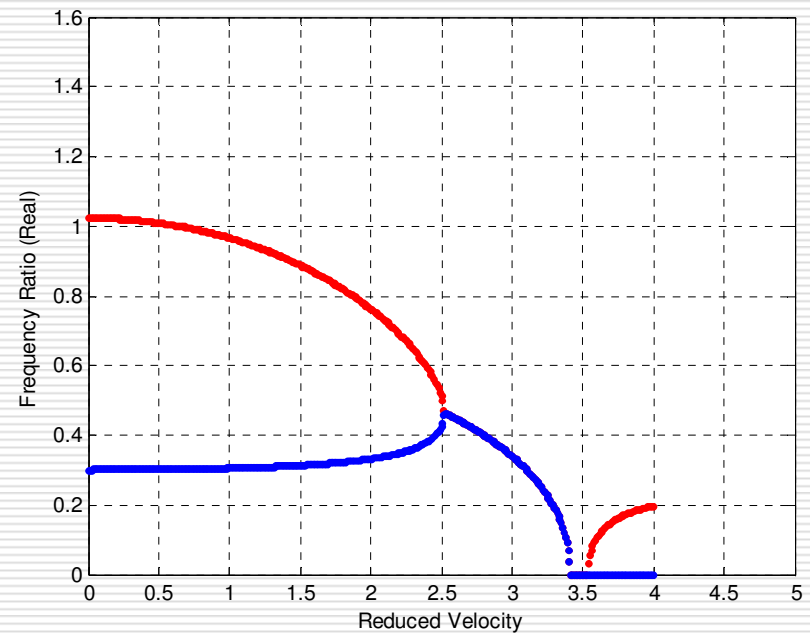
- Variando a massa aparente  $\mu$  ...

$$\mu = \frac{m}{\pi \rho b^2 l}$$

$\mu = 20$



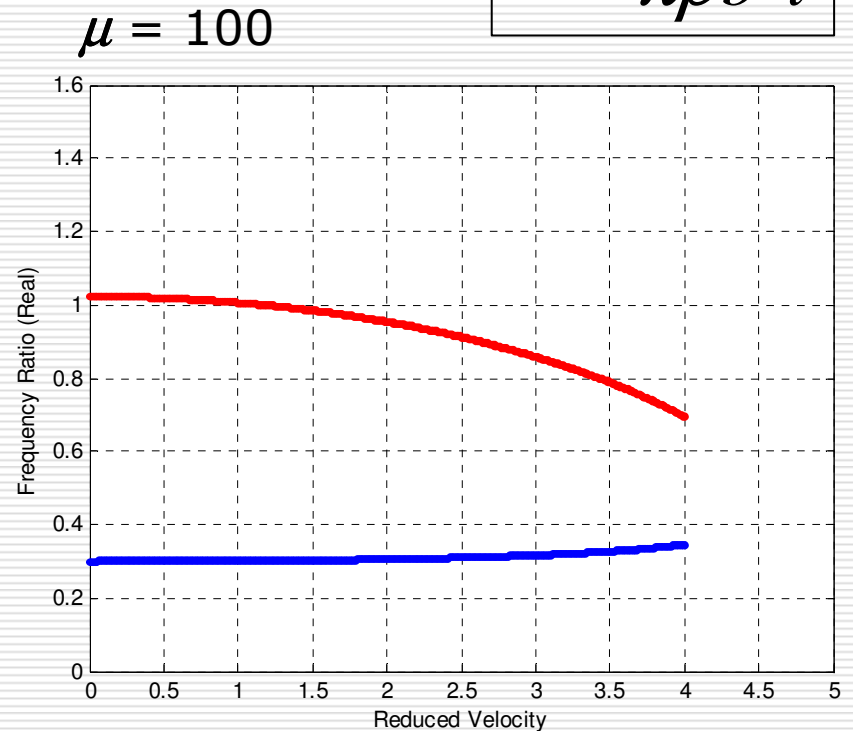
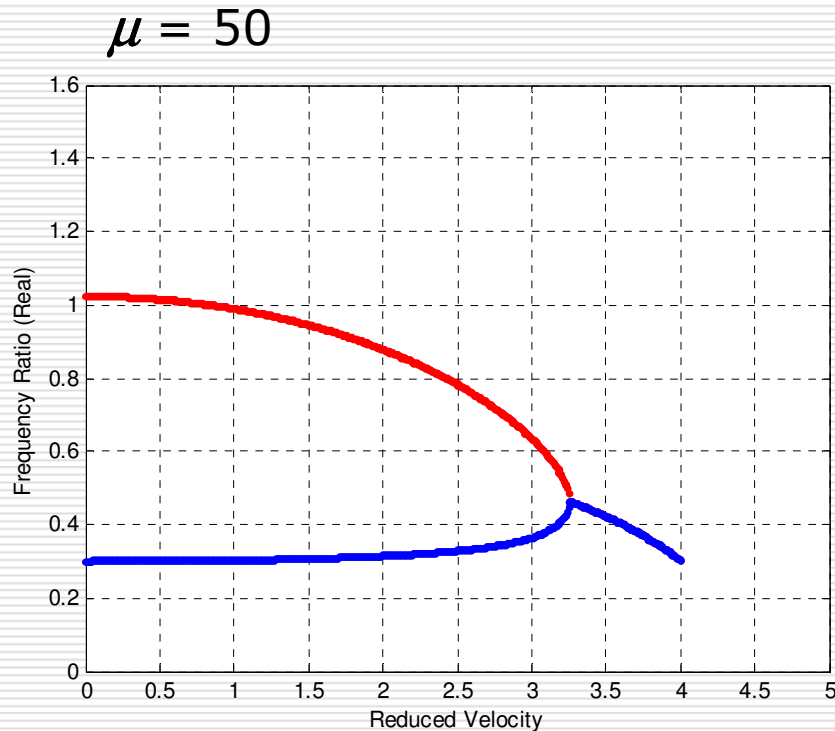
$\mu = 30$



# Efeito da massa aparente II

□ E aumentando ainda mais a massa aparente...

$$\mu = \frac{m}{\pi \rho b^2 l}$$



# Efeitos dos parâmetros no flutter

---

- ❑ Variação de posição do CG, CE e CA.
  - ❑ A posição do CG em relação ao CE é dada por  $X_\theta$ .
  - ❑ A posição do CA em relação ao CE é dada por “e”.
  - ❑ E a posição do CA ao CG é denotada por “d”.
  - ❑ Vamos analisar a dinâmica da seção típica sujeita à variações paramétricas descritas em termos de posição do CA e do CG com relação ao CE.
  - ❑ Programa em MATLAB ([pines2gdl.m](#)) ->
-

# Método de Pines codificado:

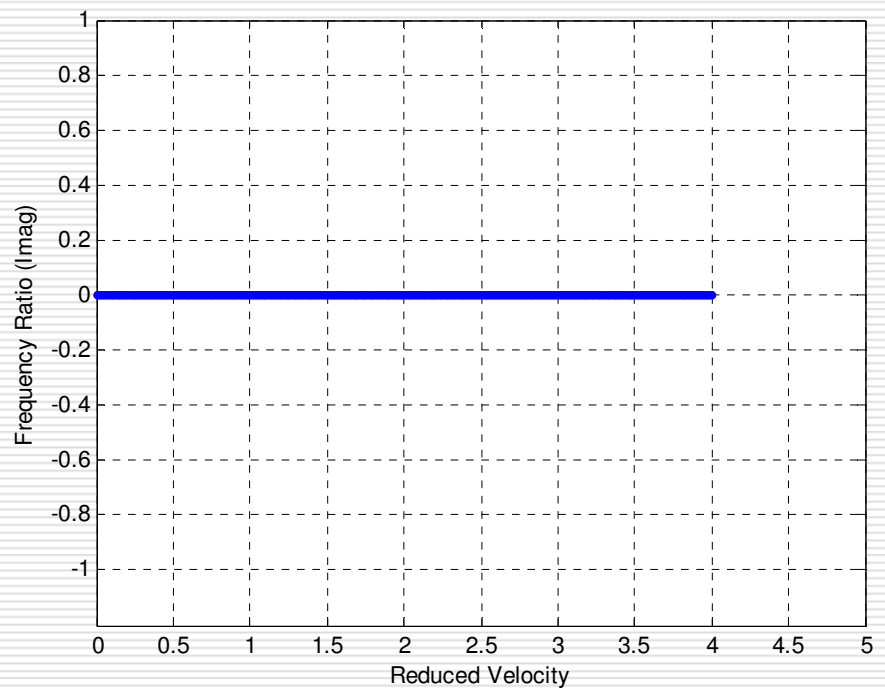
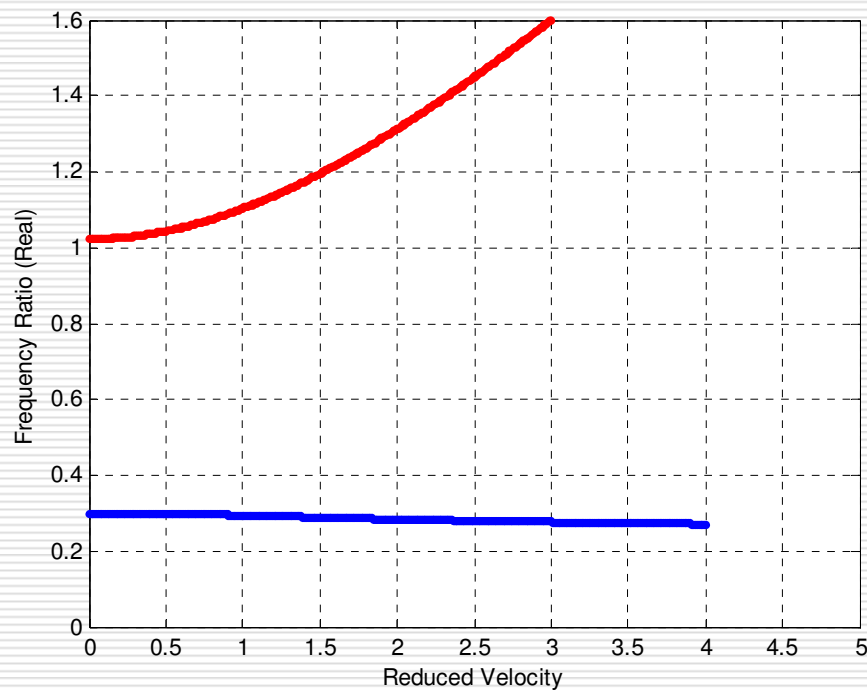
```
close all
clear all
%
% 2 dof system
% xth ; x _ theta
% rth2 ; ( r _theta)^2
% R2 ; (omega h /omega alpha)^2
% e -> distancia do CE ao CA - negativa atras do
      CE, positiva a frente do CE
b=3.0;
S = 1.0;
wth=25.0;
xth =0.10;
e= 0.30;
cla=2*pi;
d=e+xth;
R2 =(0.3)^2;
rth2=(0.5)^2;
mu =20.0 ;
%mu =30.0 ;
%mu =50.0 ;
%
```

```
for kk=1:400;
    vel(:,kk)=kk*0.01;
%
A=rth2-xth^2;
%
B=rth2*(1+R2)-(vel(:,kk)^2)*(d*cla)/(pi*mu);
%
C=R2*(rth2-(vel(:,kk)^2)*(e*cla)/(pi*mu));
%
rst1(:,kk)=sqrt((B+sqrt(B^2-4*A*C))/(2*A));
rst2(:,kk)=sqrt((B-sqrt(B^2-4*A*C))/(2*A));
%
end
figure(1);
plot(vel(1,:),real(rst1(1,:)),'.r',vel(1,:),
real(rst2(1,:)),'.b'),
axis([0.0 5.00 0 1.60]),xlabel('Reduced Velocity'),
ylabel('Frequency Ratio (Real)'),grid;
figure(2);
plot(vel(1,:),imag(rst1(1,:)),'.r',vel(1,:),
imag(rst2(1,:)),'.b'),
axis([0.0 5.00 -1.2 1.0]),xlabel('Reduced Velocity'),
ylabel('Frequency Ratio (Imag)'),grid;
```

# Regra de Pines I

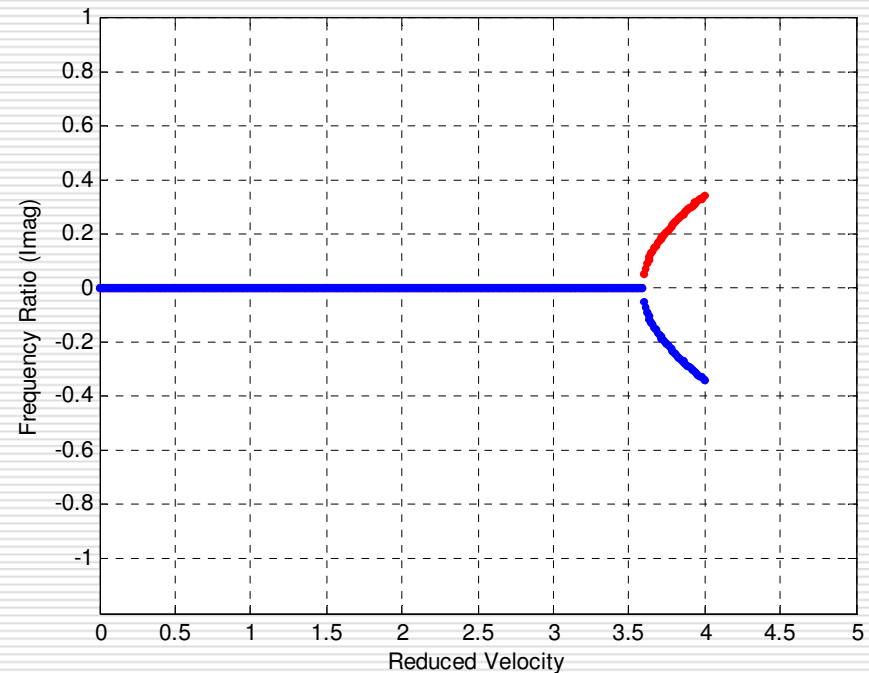
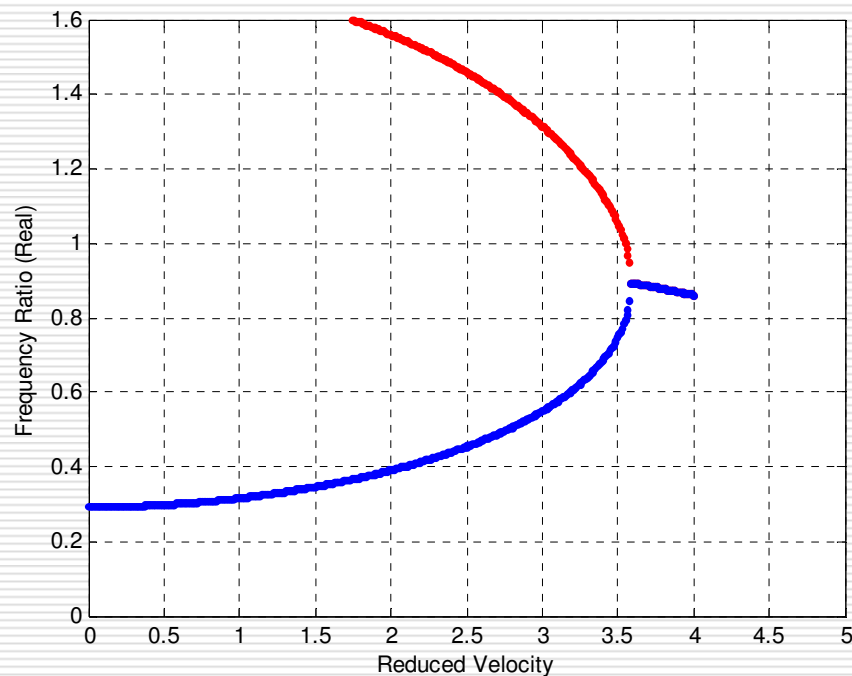
---

- CA atrás do CE e CG a frente do CE :  $x_{\theta} = -0,10$  ,  $e = -0,30$
- Nunca haverá flutter !



# Regra de Pines II

- CG e CA atrás do CE ( $e = -0.30$ ,  $x_\theta = 0.40$ )  $\rightarrow$  flutter garantido pois  $x_\theta > e$ ,
- Porém, se  $x_\theta < e$  nunca haverá flutter !

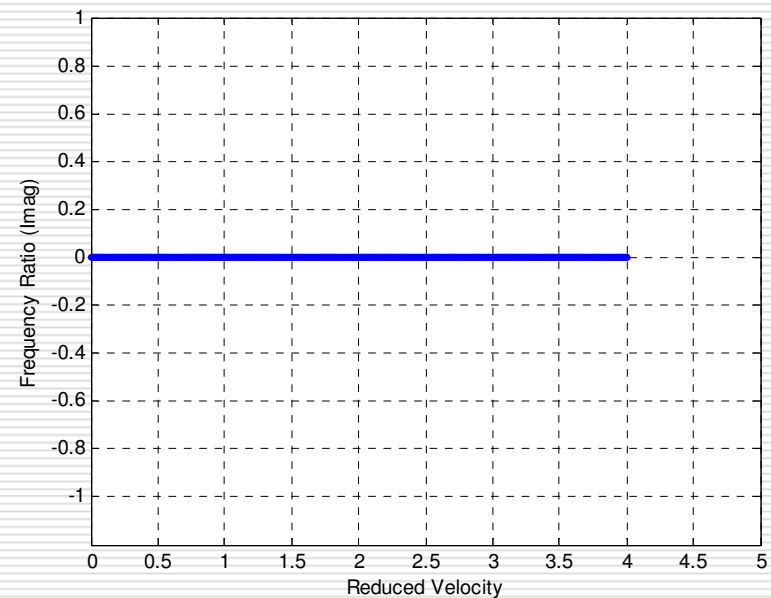
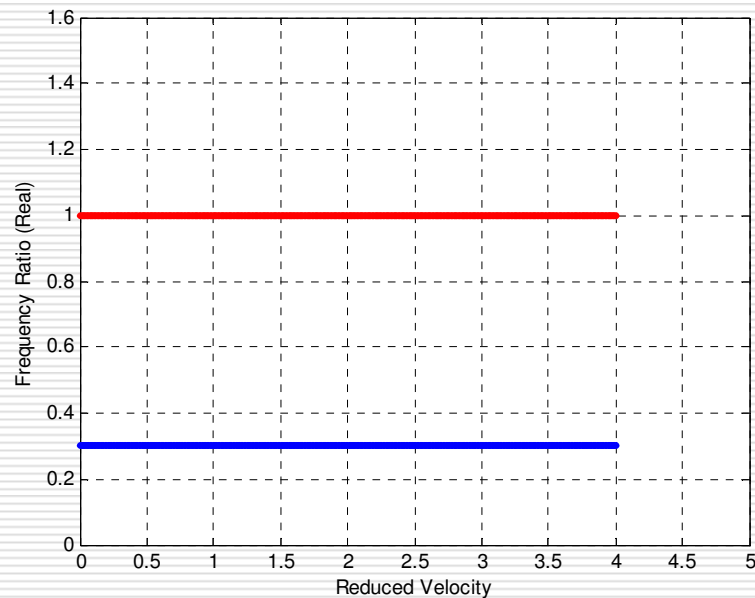




# Regra de Pines III e IV

---

- ❑ CA a frente do CE e CM atrás do CE, bem como o CA e o CM atrás do CE, o flutter vai depender de parâmetros.
- ❑ Condição ideal  $CA=CE=CM$  (desacoplamento dinâmico e aerodinâmico)



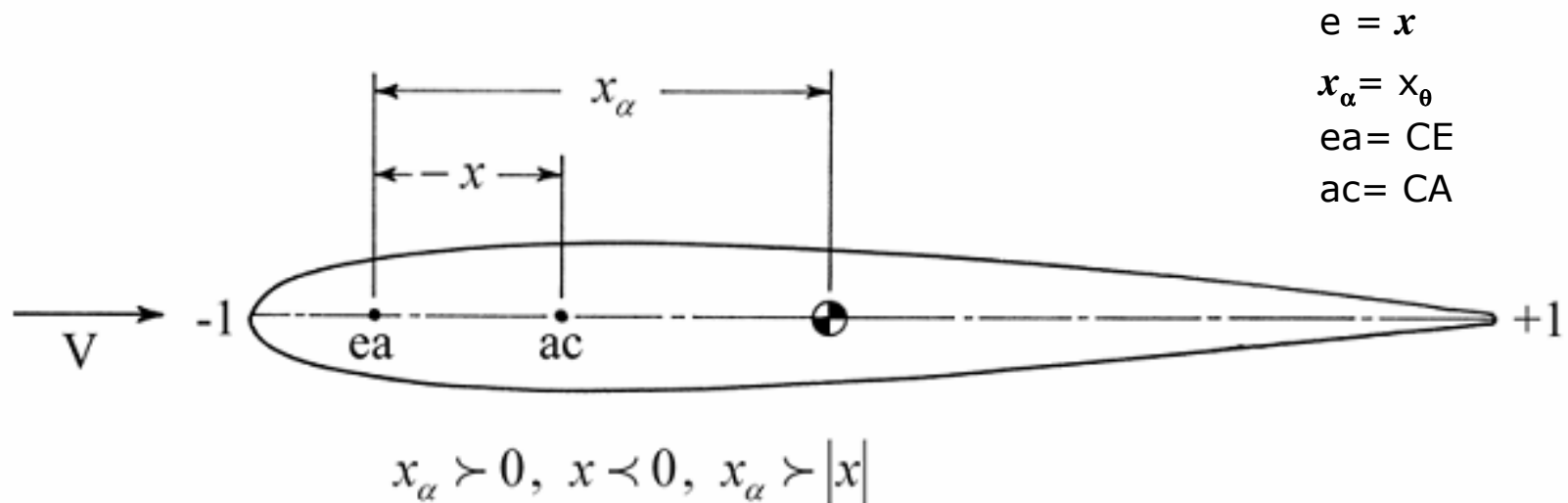
# Conclusões

---

- ❑ Para evitar flutter, CG coincidente ou a frente do CE;
  - ❑ Para evitar divergência, CA coincidente o ou a frente de CG;
  - ❑ Flutter depende da combinação entre a altitude e a velocidade, isto é da pressão dinâmica;
  - ❑ A pressão dinâmica de flutter é proporcional à rigidez em torção;
  - ❑ O flutter é inversamente proporcional a  $C_{L\alpha}$ .
-

# Conclusões

- Nunca teremos flutter quando o CG estiver a frente do eixo elástico ( $x_\theta < 0$ )
- Se o CG estiver atrás do CE, o flutter é possível somente se o CA estiver entre o CE e o CG.



# CA a frente do CE

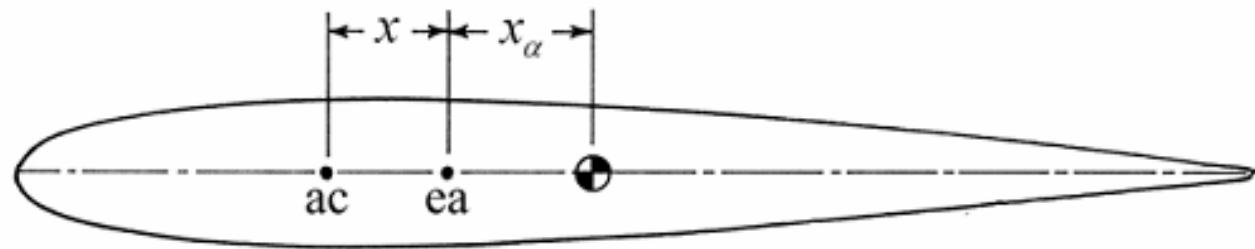
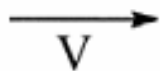
□ O flutter será possível somente:  $\left(\frac{\omega_h}{\omega_\theta}\right)^2 \leq \frac{e + x_\theta}{e \left(1 + \frac{e \cdot x_\theta}{r_\theta^2}\right)}$

$$e = x$$

$$x_\alpha = x_\theta$$

$$ea = CE$$

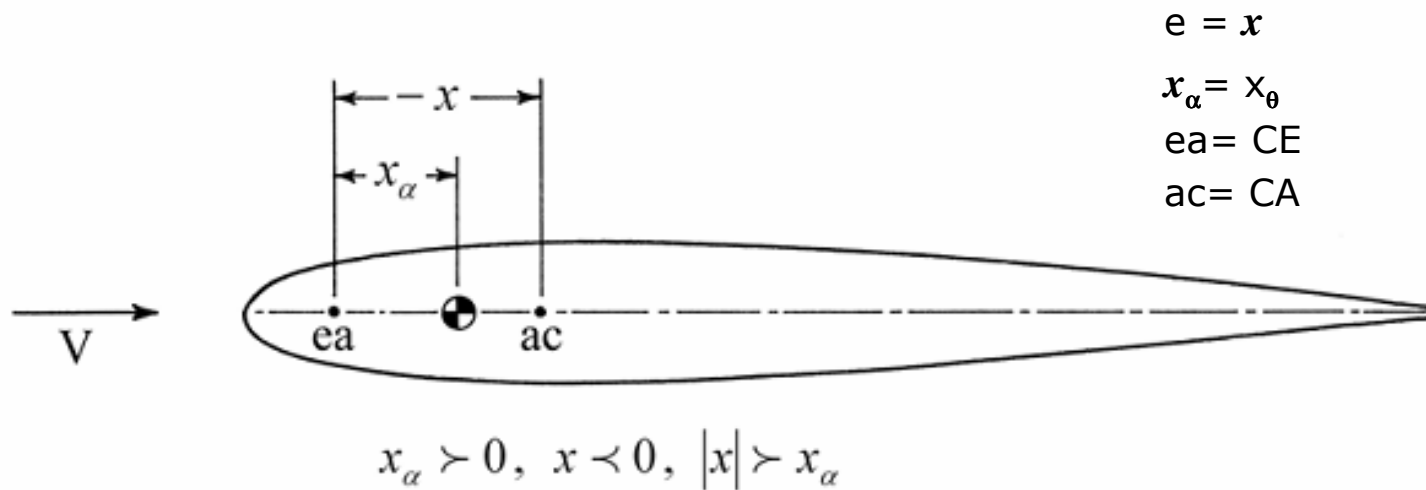
$$ac = CA$$



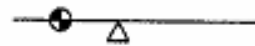
$$x_\alpha > 0, x > 0$$

# CA atrás do CG e CE

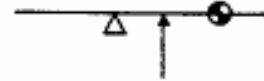
- O flutter ocorre somente se:  $\left(\frac{\omega_h}{\omega_\theta}\right)^2 > \frac{e - x_\theta}{e \left(1 + \frac{e \cdot x_\theta}{r_\theta^2}\right)}$



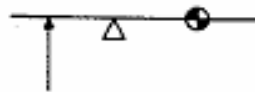
# Esquema de Pines:



(a) NO FLUTTER

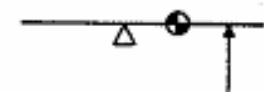


(b) FLUTTER ALWAYS POSSIBLE



(c) FLUTTER POSSIBLE ONLY IF

$$\left(\frac{\omega_1}{\omega_2}\right)^2 < \frac{X - \bar{X}}{X \left(1 - \frac{X\bar{X}}{\tau^2}\right)}$$



(d) FLUTTER POSSIBLE ONLY IF

$$\left(\frac{\omega_1}{\omega_2}\right)^2 > \frac{X - \bar{X}}{X \left(1 - \frac{X\bar{X}}{\tau^2}\right)}$$

$$1 - \frac{X\bar{X}}{\tau^2} > 0$$

# Causa do flutter

---

- ❑ O flutter clássico somente ocorre quando a interação de dois modos;
  - ❑ Vamos supor que existam dois movimentos tais como os associados aos graus de liberdade da seção típica:  $h$  e  $\alpha$  (ou  $\theta$  como preferir).
  - ❑ Ambos obedecem a um movimento harmônico simples, porém apresentam uma defasagem de um ângulo  $\phi$ .
  - ❑ Defasagem entre movimentos significa que em um determinado instante de tempo um deles atinge o seu máximo enquanto o outro não.
  - ❑ Esta diferença de fase é essencial para o flutter.
-

# O mecanismo do flutter

---

- ❑ Assume-se que os movimentos de arfagem e vertical são formados de forma que tenham amplitude e fase contantes
- ❑ Cálculo do trabalho realizado pelos esforços aerodinâmicos agindo no CA, durante um ciclo de dutação  $T_p$ .

- ❑ Lembre que:

$$\omega T_p = 2\pi \Rightarrow T_p = \frac{2\pi}{\omega}$$

- ❑ O trabalho realizado pelo escoamento é representado pela força que gera um carregamento (sustentação) a qual é aplicada no CA. O deslocamento resultante neste ponto é dado por:

$$z(t) = h - e \cdot \theta$$

---



# Entendendo o Mecanismo de flutter

---

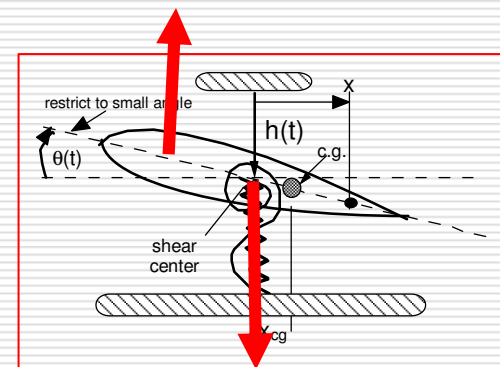
Assume-se um movimento defasado como:

$$\frac{h(t)}{b} = \left( \frac{h}{b} \right)_0 \cos \omega t \quad \theta(t) = \theta_0 \cos(\omega t + \phi)$$

Vamos calcular o trabalho realizado pelo aerofólio em um ciclo de movimento:

$$\omega T_p = 2\pi = 1 \text{ ciclo}$$

$$T_p = 2\pi / \omega$$



# Trabalho realizado

---

- O trabalho realizado é representado pela seguinte relação:

$$W_{aero} = - \int_0^{T_p} L \cdot dz = - \int_0^{T_p} L \cdot \frac{dz}{dt} dt$$

- Como:

$$\frac{h(t)}{b} = \left( \frac{h}{b} \right)_0 \cos \omega t \quad \text{e} \quad \theta(t) = \theta_0 \cos(\omega t + \phi)$$

$$z(t) = h - e \cdot \theta \quad \text{e} \quad L = q S C_{L_\alpha} \theta$$

---

# Trabalho por ciclo:

---

Temos:

$$L = qSC_{L_\alpha} \theta = qSC_{L_\alpha} \theta_o \cos(\omega t + \phi)$$

$$W_{aero} = - \int_0^{T_p} qSC_{L_\alpha} \theta_o \cos(\omega t + \phi) \cdot (\dot{h} - e\dot{\theta}) dt$$

$$W_{aero} = qSC_{L_\alpha} \theta_o \int_0^{T_p} \cos(\omega t + \phi) \cdot \omega \left( b \left( \frac{h}{b} \right)_o \sin \omega t - e \theta_o \sin(\omega t + \phi) \right) dt$$

$$W_{aero} = -qSC_{L_\alpha} \pi h_o \theta_o \sin \phi$$

---

# Trabalho por ciclo

---

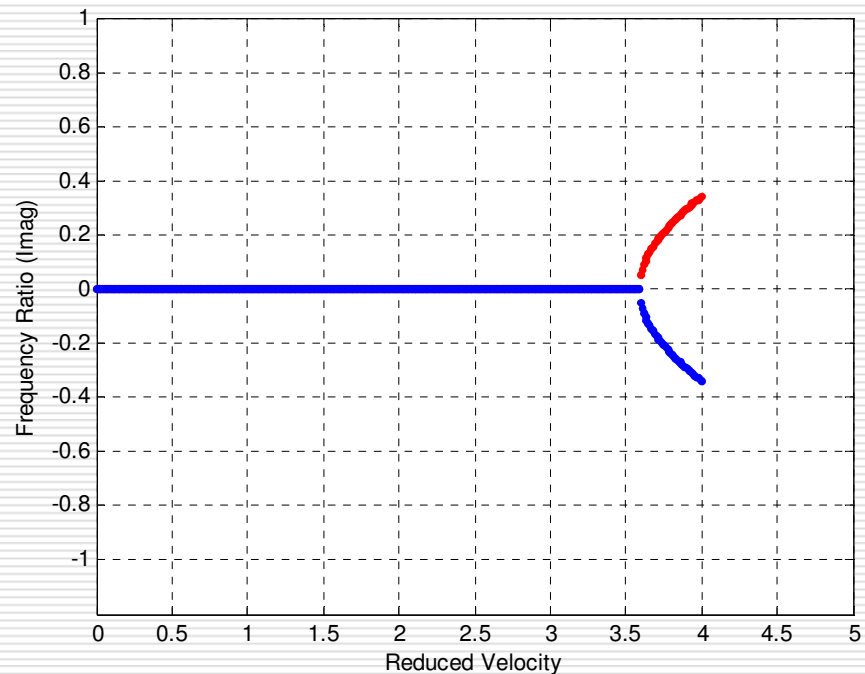
$$W_{aero} = -qSC_{L_\alpha} \pi h_o \theta_o \sin \phi$$

- Se  $0 < \phi < 180^\circ$ ,  $W_{aero} < 0 \rightarrow$  o aerofólio transfere energia para o escoamento !
  - Se  $-180^\circ < \phi < 0$ ,  $\sin \phi < 0$ , o aerofólio absorve energia do escoamento,  $W_{aero} > 0$ , a tendência é aumentar a amplitude do movimento  $\rightarrow$  Flutter !
  - Quando  $\phi = 180^\circ$  tem-se o ponto de estabilidade neutra, associado ao limite da condição onde o aerofólio começa a extrair energia do escoamento.
-

# Acoplamento dos modos

---

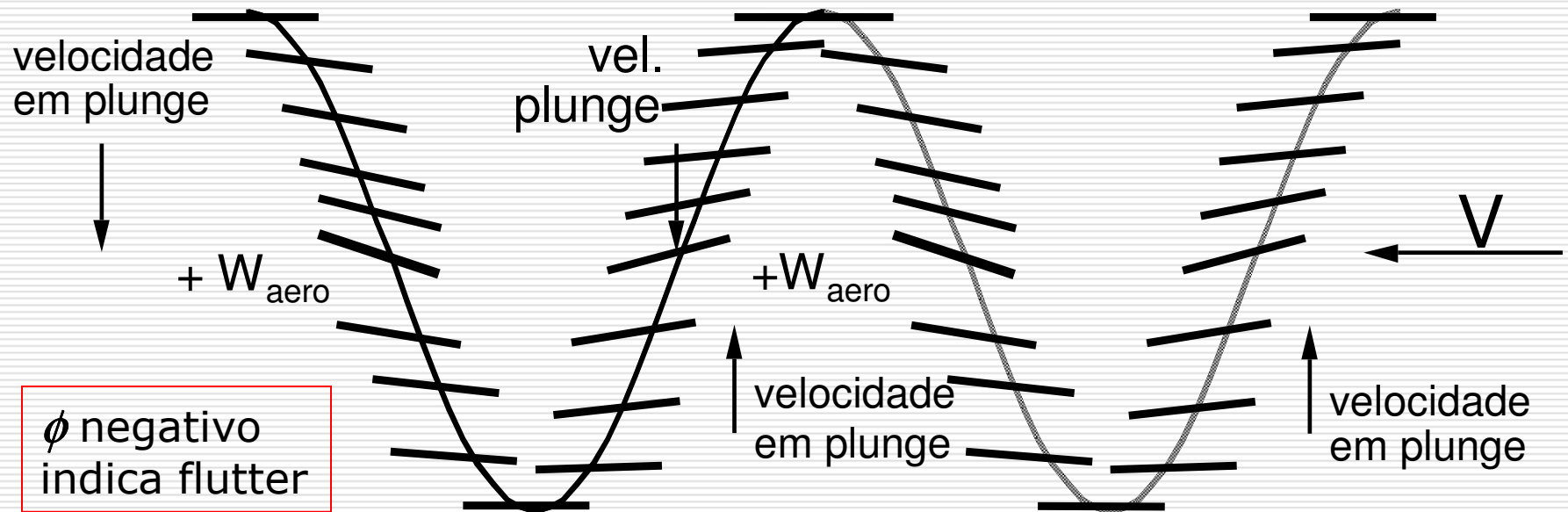
- Os movimentos de “pitch” e “plunge” estão defasados em  $180^\circ$ , o que é representado na solução de flutter pelo par de raízes complexas conjugadas que surgem na condição de flutter, onde ocorre o acoplamento destes dois graus de liberdade.



# Defasagem entre os movimentos

$$W_{air} = -qSC_{L_\alpha} \pi h_o \theta_o \sin \phi$$

$$L \sim \theta(t) = \theta_o \cos(\omega t + \phi)$$



# Entendendo o movimento ...

---

- ❑ Analisando o movimento na amplitude mais negativa do movimento em plunge, o ângulo de arfagem é nulo (defasagem). A medida que a velocidade em plunge aumenta, o ângulo em arfagem decresce e a sustentação age na direção do movimento em plunge que aumenta.
  - ❑ Quando o deslocamento em plunge é nulo, o ângulo em pitch é mais negativo. Aumentando o plunge, o pitch decresce porém sendo ainda negativo, a sustentação continua agindo na direção do movimento em plunge.
  - ❑ Ao atingir o máximo deslocamento, a velocidade é nula, mas a partir deste ponto o ângulo de pitch aumenta (fica mais positivo) promovendo uma sustentação na direção do movimento restaurador em plunge, ou seja, trabalho positivo é realizado durante todo o ciclo, na condição em que a defasagem do movimento é em um ângulo onde  $\sin \phi < 0$ .
-